

超高压 送電線의 環境影響 低減對策

Environmental Considerations Concerning the Effects of Extra High Voltage Transmmision

申 圭 植

韓電技術研究院 化學環境研究室長

I. 序 言

送電電圧의 超高圧化 경향에 따라 送電線路로 부터 可聽騒音, 라디오雜音, TV雜音등의 電氣의인 環境障害는 重大한 문제로 대두되고 있어 이에 대한 對策이 必要하여 線路의 計劃樹立과 設計時に 코로나 驚音이 導體方式을 決定하는 支配要因을 충분히 고려해 넣고, 라디오 및 TV雜音등 環境障害와 送電線路 建設前에 環境影響評價 실시에 따른 환경요인을 分析하여 必要한 低減 方案 및 代案을 檢討하고자 하여 또한 先進國의 向上된 技術開發 實態調查 分析結果를 소개 함으로써 우리도 自體의인 研究業務 遂行時 國內 環境에 알맞는 資料수집에 필연한 試行錯誤을 줄이는데 도움이 되었으면 한다.

II. 送電線 環境 影響評價의 必要性

1. 背景 및 適用範圍

事業計劃 初期段階에서부터 環境에 관련된 諸要素를 면밀히 評價, 分析하여 環境破壞要因을 事前に豫防함으로써 長期的으로 國土利用의合理化를期하고 環境保全을 效果적으로 이룩하기 위하여 環境保全法 第5條 및 同法 施行令 第4條의 2에 依據 環境保全에 影響을 미치는 事業에 관한 計劃을樹立하는 경우에는 環境影響評價書를 作成하여 미리 環境廳長과 協議하도록 되어 있다. 또한 適用範圍는 環境保全法 施行令 第4條의 2 第2項 別表1에서 定하는 에너지 開發事業中 3號 및 4號에該當하는 事業과 其他 環境影響評價를 통하여 惡影響 低減對策을 講究해야 할 必要가 있는 事業으로 규정하고 있다.

2. 其他 法令과의 關係

- 送電線 建設事業과 관련되는 法令은 다음과 같다.
- 電源開發에 관한 特例法 第5條
 - 都市計劃法 第12條, 第24條
 - 土地 収用法 第14條 事業의 認定
 - 道路法 第40條 道路占用의 許可
 - 私道法 第4條 私道開設의 許可

- 河川法 第25條 河川의 占用許可
- 國土利用 管理法 第15條
- 公園法 第23條
- 農地의 保全 및 利用法律 第4條
- 山林法 第75條, 第90條 伐採
- 電氣事業法 第36條 電氣工作物의 維持
- 文化財 保護法 第11條
- 公共用地의 取得 및 損失補償에 관한 特例法 第3條 損失補償의 原則등이 있다.

3. 環境影響 要素와 環境因子의 相互關聯性

建設 및 運用段階에서 實施되는 모든 開發行爲 또는 活動과 이로 因하여 變化가 豫想되는 環境因子를 抽出하고 이들의 상호관련성은 표II-1과 같다.

4. 送電線 建設時 環境에 미칠 惡影響의 低減方案

가. 철탑부지는 철탑설공사 완료후 정지하고 잔더등으로 녹화하여 토사 유실을 방지한다.

나. 공사에 직접적으로 장애를 초래하지 않는 수목은 가급적 보전하여 별채 수목의 수량을 최소화 한다.

다. 농경지와 철도 및 도로의 횡단선로 설치 공사시에는 발반침을 사용하여 농작물 경작과 교통 소통에 지장이 없도록 한다.

III. CORONA 現像으로 因한 環境影響 檢討

1. 可聽騷音 (Audible Noise) 的 影響

送電 System에서 發生하는 騷音은一般的인 自動車, 航空機, 工場設備 등의 騷音에 비해 문제가 되고 있지 않으나 送電 電壓이 높아짐에 따라 送電導體에서 發生하는 코로나에 依한 可聽騷音이 관심의 對象이 되고 있다.

코로나에 依한 可聽騷音의 傳播는 소리의 法則을 적용하여 導體의 單位 길이당 發生하는 騷音 Power는 導體 表面의 電界強度, 導體의 크기, 素導體數

〈표II-1〉 環境影響要素와 環境因子의 相互關聯性

環境影響要素	環境因子와의 關聯性
林木伐採	<ul style="list-style-type: none"> ① 土砂流出을 促進하고, 地表上壤의 乾燥화로 因한 沙汰發生 ② 動物의棲息地 減少 또는 衰失 ③ 森林 等의 林產資源 減少 ④ 景觀變化 招來
數地造成 또는 焚地	<ul style="list-style-type: none"> ① 變電所 및 鐵塔敷地 占有로 因한 土地利用上의 影響 ② 整地作業으로 因한 地表變形과 浸蝕에 對한 影響 ③ 稀貴動植物의 棲息 및 自生에 미치는 影響 ④ 切上面과 盆土而 發生으로 因한 景觀上의 影響 ⑤ 重裝備運轉으로 因한 騷音發生 ⑥ 文化財保護區域 및 埋藏文化財에의 影響 ⑦ 鑛物資源의 開發에 미치는 影響
機資材運搬	<ul style="list-style-type: none"> ① 重量物과 建設資材 運行으로 因한 騷音發生 ② 大型車輛運行과 資材 野積等으로 因한 交通上의 障碍
線路架設	<ul style="list-style-type: none"> ① 連線工事中 農作物 및 果樹栽培에 미치는 影響 ② 交通路 橫斷線路의 連結作業으로 因한 交通安全에의 影響
構造物의 存在 (變電所, 鐵塔, 線路)	<ul style="list-style-type: none"> ① 變電所와 線路의 存在로 因한 慶樂活動과 景觀에의 影響 ② 電力設備에 對한 威壓感 ③ 隣接文化財의 價值, 品位保全에 미치는 影響 ④ 鐵塔 및 線路로 因한 耕作障礙(영농기계화, 항공방제 등)
送電, 變電	<ul style="list-style-type: none"> ① 變壓器稼動에 따른 騷音發生 ② corona 現象에 따른 電波障礙

에 따라 变하게 된다. 可聽騷音은 送電線 設計 時 중요한 制約條件中의 하나로서 적당한 導體를 選定하기 위하여 外國의 많은 電力會社와 研究기관에서 소음 예측식을 개발하였으며 이들은 實測值와는 다소의 오차를 보이고 있다. 지금까지 개발된 騷音豫

測式으로는 아래와 같이 들 수 있으며 이중 BPA (美國 Bonneville Power Administration) 式의 實測值과의 誤差가 적은 것으로 알려져 있다.

가. 驚音豫測式의 種類

- American Electric Power (AEP) 式
- Ontario Hydro 式
- Bonneville Power Administration (BPA) 式
- 日本電力 中央研究所 (CRIEPI) 式
- Electric de France (EDF) 式
- Ente Nazionale Per L'energia Electrical Italy (ENEL) 式
- FGH (독일) 式
- General Electric Company 式
- Hydro Quebec Institute of Research (IREQ) 式

나. BPA (Bonneville Power Administration) 驚音豫測式

適用構造: 모든 構造

測定: 비가 올때의 L50

適用電壓 및 素導體構成: 230~1500KV, $n \leq 16$,
 $2 \leq d \leq 6.5$

$$AN = 120 \log G + K \log n + 55 \log d - 11.4 \log D + A_{No} (\text{dB})$$

여기서,

AN : 線路中 하나의 相에서 發生하는 驚音水準 (dB)

G : Bundle의 平均 최대전계강도 (kV/cm)

K : 26.4 for $n \geq 3$

0 for $n < 3$

n : Bundle 당 素導體數

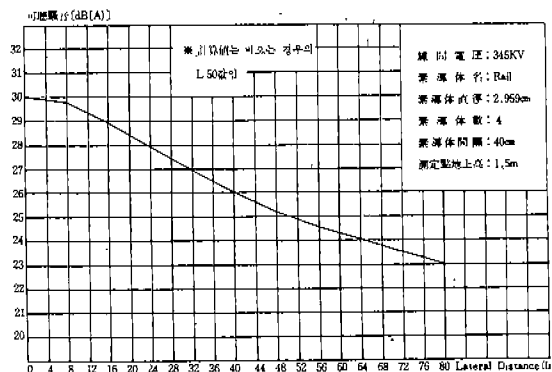
d : 素導體의 直徑 (cm)

D : 線路로부터 계산지점까지의 距離 (m)

$$A_{No}: \text{保定期數} - 128.4 \text{ for } n \geq 3 \\ - 115.4 \text{ for } n \leq 3$$

$$\text{總 驚音量 } SL = 10 \log \sum_{k=1}^n 10^{\frac{AN_k}{10}} (\text{dB})$$

상기 BPA式에 의한 345KV 2回線 4導體 送電線路의 경우 可聽驚音豫測結果는 그림III-1과 같다. 한편 345KV을 진동해 송전선로 구간에서 가장 인접된 家屋과의 이격거리는 22m이며 이 거리에



〈그림III-1〉 345KV 4×483送電線路의
코로나驚音量

서의 可聽驚音值는 약 28dB (A) 미만으로서 이것은 한적한 시골지역의 夜間 暗 驚音值보다도 낮은 水準이다.

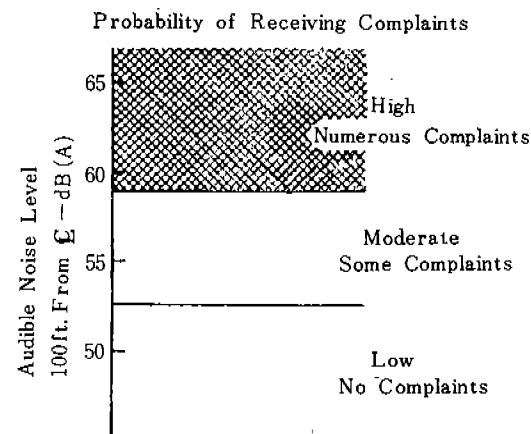
다. 코로나 驚音의 許容基準 및 設計目標值

1) 코로나 驚音 許容基準

送電線으로 부터의 코로나驚音과 社會的 불평도에 관한 일반적인 기준을 唯一하게 美國의 BPA에서 그림III-2과 같이 발표하였으며 EPA 驚音基準은 표III-1과 같다.

2) 코로나 驚音의 目標值

海外各國의 코로나 驚音實態를 보면 표III-2와 같다.



〈그림III-2〉 코로나驚音과 社會的불평도

〈표III-1〉 EPA騒音의 기준

영향	허용기준	적용지역
옥외	$L_{dn} \leq 55\text{dB(A)}$	주택지, 농지, 사람들로 활동시간이 다양한 지역, 기본적으로 정숙해야 하는 지역
	$Leq(24) \leq 55\text{dB(A)}$	운동장에서 교정같이 제한된 시간을 보내는 지역
실내	$L_{dn} \geq 45\text{dB(A)}$	주택지의 실내
	$Leq(24) \leq 45\text{dB(A)}$	사람들이 활동하는 지역

* L_{dn} : Equivalent Day-Night Sound Level* Leq : Equivalent Sound Level

〈표III-2〉 각국의 코로나騒音實態

나라	기관	코로나소음표지	코로나소음으로 인한 불편	대체
미국	BPA	ROW의 경계에서 $L_{dn} = (53 \pm 2)$ dB(A)	초기의 500KV 송전선 (63.5mm ϕ 단도체)에서 발생 63.5mm ϕ 단도체를 3×30.5mm ϕ 로 변경 (주택이 많은 지역)	
	PASNY	ROW부근의 주택 의 침설 : 35dB(A) 이하 선로 중심으로 부터 125ft 지점 : $L_s = 58 \sim 59\text{dB(A)}$ $L_{dn} = 53\text{dB(A)}$ *	345KV 선로에서 35dB(A)를 초과 하지 않도록 했 다. 주민들의 요구에 따라서는 매우 또는 이전에 용이하였다.	침실에서騒音이 는 전혀 없었으나 765KV送電線에서 36건 발생
이탈리아	ENEL	$L_s = 58 \sim 59\text{dB(A)}$ $L_{dn} = 52 \sim 53\text{dB(A)}$ **	400KV送電線에서는 없음	1,050KV送電線은 운용한 후 불평이 발생하면 설득하거나 ROW를 매수할 것을 고려 중
영국	CEFB	없음	400KV 2도체 송전선의 경우 발생	2도체를 4도체로 변경해서 저감

2. 라디오 및 TV 雜音

라디오 및 TV雜音强度는 送電線路와受信器間의 距離受信안테나의 方向送電線構造氣候條件等에 따라 決定되어 진다.

가. 라디오雜音(Radio Noise)의 影響

送電線에서 發生하는 Radio Noise는 그 자체로는 人体나 周辺環境에 해롭지는 않으나 특히 AM周波數(540~1600kHz) 帶에서 라디오周波數信號受

信에 지장을 줄 수 있으며 비가 올 때는 맑은 날에 비하여 17dB程度가 높아진다. BPA에서 개발한 Radio Noise(0.2~1.6MHz에 적용) 예측식은 다음과 같다.

즉, $D \leq W/2\pi$ 일 때,

$$R1 = 48.0 + 3.5(gm - 17.5) + 30\log d/3.51 + 20\log 30.7 h/D + 10(1+f)$$

$D > W/2\pi$ 일 때

$$R1 = 48.0 + 3.5(gm - 17.5) + 30\log d/3.51 + 20\log 30.7 h/D + 20\log w/2D + 10(1-f)$$

여기서,

R1 : 라디오 Noise强度(dB)

D : 導體로부터 測定點까지의 거리(m)

W : 波長(m)

gm : 最大導體表面電界強度(kVrms/cm)

d : 素導體의 直徑(cm)

h : 線路의 높이(cm)

f : 周波數(MHz)

한편 라디오 聽取感度 基準은 SNR (Signal to Noise Ratio)로 나타내며 C級의 中間值인 24dB를 基準值로 하고 있다.

〈표III-3〉 라디오聽取感度(Signal to Noise Ratio)基準

등급	SNR(dB)	비고
A	32	Radio 청취 아주 만족
B	27	" 양호
C	22	" 만족되나 뒷잡음 있음
D	16	잡음명백하나 쉽게 청취
E	7	아주 집중해야 청취 가능

BPA式에 의한 345KV 2回線 4導體 송전선로의 Radio Noise 예측결과는 그림III-3에 나타낸 바와 같이 家屋과의 최소 인접거리인 22m에서는 22dB이며 비가 올 경우에는 39dB로 예측된다. KAIST調査結果一般住宅地域의 受信度인 80dB를 적용할 경우 SNR은 41dB(30~38) 이상으로서 라디오 방송 청취에 나쁜 영향을 미치지는 않을 것으로 料된다.

나. TV視聽에의 影響

TV放送의 Picture Signal은 AM Signal로서 이것은 코로나 防害波와 비슷하며 BPA에서 개발한 TV I (TV Interference) 예측식은 다음과 같다.

$$TVI = 10.0 + 3.5(gm - 16.3) + 30.0 \log d / 30.4 + 20 \log 75.0 / f + C$$

$$CH > 61.0$$

$$A < CH \text{ 일 때 } C = 20 \log 61 / A$$

$$CH < 61.0$$

$$A > CH \text{ 일 때 } C = 20 \log 61 / CH + 40 \log CH / A$$

$$CH < 61.0$$

$$A < CH \text{ 일 때 } C = 20 \log CH / A + 40 \log 61 / CH$$

$$CH < 61.0$$

$$A > CH \text{ 일 때 } C = 40 \log 61 / A$$

여기서,

TVI : TV방해파 強度 (dB)

d : 素導體 直徑 (mm)

gm : 최대 導體表面 電界強度 (kV rms/cm)

f : 測定 周波數 (MHz)

$$CH > 61.0$$

$$A < CH \text{ 일 때 } C = 20 \log 61 / A$$

A : 導體로 부터 計算地點까지의 거리 (m)

$$CH = (12HA, HC, f) / w$$

HA : 안테나의 높이 (m)

HC : 導體의 높이 (m) W : 波長

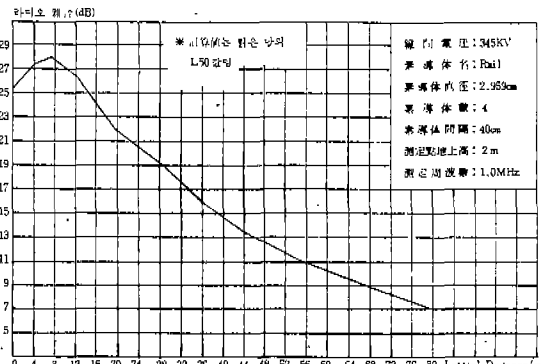
美國의 TASO (Television Allocation Study Organization)에서 제안한 TV放送수신의 評價 基準은 다음과 같다.

品質等級	S N R	
5	44以上	雜音이 全無하고 受信狀態 가 극히 양호하다.
4	34以上44未滿	雜音이 약간 있으나 受信狀態는 양호하다.
3	27以上34未滿	雜音이 많으나 畫面內容은 쉽게 알아볼 수 있다.
2	23以上27未滿	雜音이 극심하여 畫面內容을 거의 분간할 수 없다.
1	23未滿	雜音이 극심하여 거의 분간 할 수 없다.

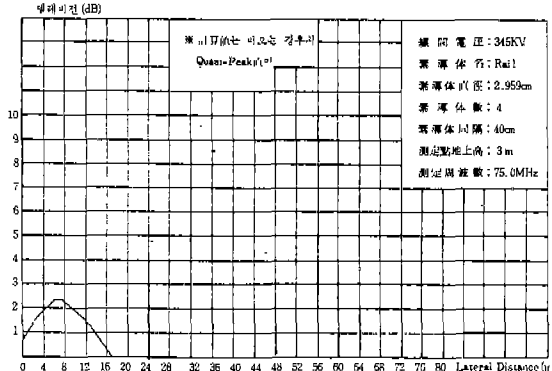
345KV 울진-동해 送電線路가 家屋과 가장 가깝게 인접하여 있는 22m의 距離에서 BPA式에 의한 345KV 2回線 4導體 送電線路의 TVI豫測結果는 그림III-4에 나타낸 바와 같이 0.0dB이다. 이것은 韓國科學技術院의 調查結果에 의한 TV放送波의 地域別 受信強度가 住宅地域의 경우 68dB인 점을 감안하면 SNR은 68.0dB以上으로서 送電線에서 發生하는 TVI에 의한 影響은 없을 것임을 나타낸다.

그러나 TV畫質을 損傷하는 또 다른 障碍要因으로서 周邊에 있는 빌딩 등에 의한 反射波가 도래하여 TV畫象이 時間的으로 다르게 나타나는 Ghost現象이 있으며 이것에 대해서는 아직도 그 영향을 예측하는 방법이 소개되어 있지 않으나 만일 이러한 영향이 발생된다면 하더라도 受信안테나의 位置를 變更하거나 公聽안테나 設置等의 對策으로서 無難히 解消할 수 있을 것이다.

〈그림III-3〉 345KV 4×483送電線路의
라디오雜音量



〈그림III-4〉 345KV 4×483送電線路의
텔레비전雜音波



다. 라디오 및 TV 雜音 電界強度 基準

1) 라디오 雜音 基準

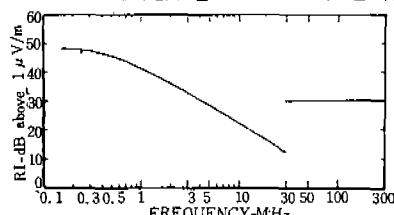
가) 캐나다

〈표III-4〉 캐나다 基準

公稱電壓 [KV]	라디오雜音電界強度 (dB ref μ V/m)	비 고
70以下	40	○일기가 좋을 때 SNR22dB이상
70~200	46	방송수신정도보장
200~300	50	
300~400	53	○도서지역은 이 기 준에서 10dB높인다
400~600	57	
600以上	60	

나) 소련

送電線에서 發生하는 RI 電界強度가 周波數의 頻率으로서 그림III-5의 값을 넘지 않도록 되어야 한다. 이때의 RI 測定點은 表III-5와 같다.



〈그림III-5〉 소련 基準

〈표III-5〉 測定地點

電壓 [KV]	周 波 數 帶		最外相으로 부터의 距離 [m]
	150KHz - 30MHz	30MHz - 300MHz	
35以下	220以下	10	
110~220	330~500	50	
330以上	750以上	100	

2) 텔레비전 雜音基準

TV雜音의 基準은 特定한 것이 없으며 그림의 소련基準을 參考로 하면 75MHz에서 最外相으로부터 100m 地點이 30[dB ref μ V/m] 以下로 하게 하였고 韓電 800KV T/L導體線定에 관한 Westing House 報告書를 보면 線路中心으로 부터 250[ft]에

서 24.2dB 以下로 제한하고 있다.

3. 地表面 電界強度 基準

靜電 誘導現象에 의해 送電線 아래에서 사람이 感

〈표III-6〉 日本 500KV 實證試驗

研究委員會의 報告

感知의 程度	地上電界強度
送電線 아래에서 우산을 잡고 걸으면서 우산의 금속부에 열줄 을 접촉한 순간의 상태	[KV/m]
거의 느껴지지 않는다	약 3 [KV/m] 이하
약간 느낀다	약 3 ~ 6 [KV/m]
느낀다	약 6 [KV/m] 이상

〈표III-7〉 日本 275KV 線路에서의 우산에
의한 靜電誘導感知 實態

	2이하	2.1~3.0	3.1~4.0	4.1~5.0	5.1~6.0	제
감지건수 ① (1952~1973)	0	12	22	7	7	48
도로개소수 ②	5,240	1,000	367	110	22	6,739
감지 발생 확률 ③ × 100	0%	1.2%	6.0%	6.4%	31.8%	0.7%

〈표III-8〉 海外 各國의 地表面 電界強度基準

國 別	機 關	送電電壓	최대지상전계 강도 [KV/m]
미 국	AEP	765	12
	BPA	500	9
	New York 주 電力國 (PSNY)	765	12
	Minnesota 주		8
	New York 주		6.9(공공도로) 10.6(사유도로)
	N. Dakota 주		8
영 국	Oregon 주		9
이탈리아	중앙전력국 (CEGB)	400	10
스웨덴	전력공사 (ENEL)	400	10~12
소련	전력청 (SSPB)	400	10
프랑스	동력문화성	750	10~15
일 본	전력공사 (EdF)	400	10
	(전기설비 기술기준)		3 (5)

知하는 程度는 日本의 경우 표III-6, III-7과 같으며 通行이 빈번한 곳에서는 3 [KV/m], 그외의 地域에서는 5 [KV/m] 以下로 規制하고 있으며 海外各國의 規制値는 표III-8과 같다. 또한 표III-7에서 標準値를 5 [KV/m]로 하여도 感知 發生 確率이 7% 以下로 되어 우리의 경우는 5 [KV/m]를

標準으로 하는 것이 좋을 것으로 생각된다.

V. 結 言

○超高压送電에서의 環境影響 低減 對策 으로서는 送電設備에 依한 驚音 및 振動 發生 抑制, Co-

IV. 海外實態調査 分析研究結果實例要約

研究기관명	國名	研 究 結 果 要 約
○General Electric Co	美 國	<ul style="list-style-type: none"> - 발생함수 (Generation Function) 개념도입하여 추정계 산식 개발 - 비대칭도체방식 L_{60}이 대칭도체방식의 경우보다 5dB(A) 낮게 나타남 - 도체 노후화에 따라 5개월후 2dB, 10개월후 4dB, 3년후 8dB까지 줄어듦
○Bonneville Power Administration	"	<ul style="list-style-type: none"> - 실험실對 실제선로 측정차이 규명은 도체주위 전계분포가 코로나방전에 큰 영향행사 - 최외상 15m 이격거리에서 거리가 두배됨에 따라 3~4dB감소 -降雨條件에 따른 변동은 grease의 酸化物의 영향으로 추정 -코로나障害에 따른 측정개발
○Westing House	"	<ul style="list-style-type: none"> - 1KHz이상의 코로나 소음증가율이 RIV증가율보다 높게 나타남 -동일조건에서 3 가지 선로구성에 대한 코로나장애 동시측정 분석방법개선 -700~750KV 송전선설계시 4도체방식통계적자료 제시 -풍속, 상대습도, 기압, 노정온도, 상대공기밀도등은 장기간의 평균RI에 기본적인 영향이 없음
○American Electric Power Service Corporation	美 國	<ul style="list-style-type: none"> - AEP 765KV 송전선로는 코로나 소음이 결정요인 - 765KV 선로소음허용기준은 ROW의 끝에서 악천후시의 평균치가 55dB(A) 초과않음 - RI : 65~70dB, TVI : 28~32dB, O₂ 및 기타 gas 발생은 미소함
○IREQ Hydro-Quebec Institute of Research	캐나다	<ul style="list-style-type: none"> -複도체의 코로나특성을 각도도체의 코로나 특성과 주변전계 강도분포로부터 추출가능 -단상시험결과는 근본적으로 오차발생 -강우코로나소음Level은 청천후시보다 10~20dB(A) 높다 -도체수와 도체표면전위경도가 증가할수록 그차는 줄어든다.
○ENEL	이탈리아	<ul style="list-style-type: none"> -코로나장애 Level 6도체방식 높고 8도체 방식 줄어듦. 10도체 방식 영향 없음 -강우시와 청천후차이는 도체표면전위경도가 낮은도체방식이 심함 -人工注水시험에 의한 측정차가 약간 높음 -전조상태나 전위경도가 낮을 때 측정치 변동 심함
○E d F	프랑스	<ul style="list-style-type: none"> -기하학적요인들에 대한 소음추정계 산식 만들음 -많은 素도체로 구성된 것이 소음이 적다. -안개가 있을 때 소음전파 제동으로 국지적인 장애 일으킴 -도체표면전위경도가 18KV/cm초과하지 않으면 소음문제 없음
○電力中央研究所	日 本	<ul style="list-style-type: none"> -코로나 소음측정식개발 -GE Project UHV의 추정계 산치보다 최대 8dB(A)까지 낮게 측정

rona 障害·雪害·塩害·雷害에 대한 구체적인環境影響을 評價 分析하여 自然環境에 가장 적합하고合理的인 送電設計를 하는 것이 바람직하며 紙面 관계상 雪害·塩害·雷害에 對한 影響分析은 省略하였다.

○ 鐵塔 敷地 工事時 가능한 伐採 樹木을 놓이고 工事 완료후에는 山林을 綠化하며 특히 農耕地와 鐵道 및 道路의 횡단線路 設置 工事시에는 발 받침을 使用하여 농작물 경작과 교통 소통에 지장이 없도록 한다.

○ Corona 影響 對策으로는 우리 國內 실정에 알맞는 코로나 障害 騷音豫測式을 開發하여 代案을 제시토록 하며 老朽화된 導體의 신속한 交替作

業, 對稱 導體方式은 非對稱 導體方式으로 전환하고 가능한 한 많은 素導體로 構成되도록 한다. 특히 $63.5\text{mm}\phi$ 單導體를 주택이 많은 地域에서는 $3 \times 30.5\text{mm}\phi$ 로 또한 2 導體는 4 導體로 변경 함으로써 코로나 영향을 低減할 수 있다.

○ 라디오 및 TV 雜音 強度는 送電線路와 受信基間의 거리, 受信안테나의 方向, 送電線構造, 氣候條件 等에 따라 決定되므로 受信안테나의 位置變更 및 公聽안테나 設置등으로 무난히 해소할 수 있다.

○ 先進國의 技術 蕪積 資料의 문제점을 精密分析하여 自体 研究業務 遂行 時 試行錯誤을 줄이는데 보탬이 되었으면 한다. *

● 海外 새 製品 ● (영국대사관 제공)

보안용 檢索시스템

SCREENING FOR SECURITY

● 메이커 : Astrophysics Research Ltd, Vale Road, Windsor, Berkshire, England SL4 5JP. Tel: +44 753 855611, Telex: 849338

테러리즘에 대응하기 위한 국제적인 보안활동을 효과적으로 지원할 수 있도록 설계된 3종의 보안용 검색시스템이 새로 개발되었다. 이들 Linescan 시스템은 각각 이동형 검색시스템, 결합형의 항공승객 검색시스템, 반후대형의 표준식 走査장치이다. 이동형 시스템은 Linescan Auto 밴자동차에 적재되도록 만들어졌으며 이동형이면서도 넓은 검사투입구, X레이 투시기능 및倍率 2:1의 전자주울 기능등 표준형의 고정식 시스템이 갖는 기능을 거의 모두 지니고 있다.

밴자동차의 앞좌석은 뒤로 逆転시켜 화물이 차체를 가로막고 있을 때도 효과적으로 모니터 스크린을 감시할 수 있도록 되어 있다. 이 시스템은 主電源 또는 내장형 발전장치의 어느 것에 의해서도 작동될 수 있으므로 室外의 위치 또는 거리가 멀리 떨어진 경우에도 효율적인 보안검색 기능을 수행할 수 있다. 결합형 항공승객 검색 및 분류시스템은 한사람의 검사원에 의해서도 운용되어 여러개의 테스크를 통과하는 각종 화물에 대해 원격의 보안 제어장치를 통한, 조절할 수 있다. 검색 투입구가 넓으므로 대형 수하물을 휴대한 승객에 대해 승객과 화물을 동시에 검색, 분류할 수 있어 검색에 소요되는 시간과 불편을 크게 줄일 수 있다.

반후대형 주사장치인 Linescan System Six는 매우 소형화되었으며 뛰어난 走査기능을 지니고 있다. 이 시스템은 사용·현장에 신속히 옮겨서 사용할 수 있으므로 기동성이 우수하다. 이를 Linescan 시스템에는 모두 차폐된 X선 투시실을 통과하는 컨베이어 벨트를 채택하고 있으며 각종 크기의 화물에 적용할 수 있도록 기종을 다양화 할 수 있다. 특히 X선센서는 검색 대상물이 컨베이어를 따라 검사대를 통과할 때 分割투시식으로 판



찰하여 각각의 분할된 부분이 画像신호로 변환되어 철러식 또는 흑백식의 스크린에 표시된다. 표시되는 画像의 明暗 및 色度對比 수준은 14단계로 이뤄져 해상도가 매우 뛰어난 것이 무엇보다 큰 특징이다. X선 두사실의 양쪽 측면을 가로질러 다이오드 素子가 배열되어 어려한 검색 대상물이라도 死角부분이 없이 100% 완벽하게 투시, 판찰될 수 있도록 하고 있다. 이에 따라 공항, 보안서비스기관, 공공기관, 대규모 기업등에서 효율적으로 이용될 수 있다.